



УДК 547.963.3:577.113.6

СЕНСИБИЛИЗИРОВАННАЯ ФОТОМОДИФИКАЦИЯ ДНК БИНАРНЫМИ СИСТЕМАМИ ОЛИГОНУКЛЕОТИДНЫХ КОНЬЮГАТОВ. IV*. ФОТОИНДУЦИРОВАННЫЙ ПЕРЕНОС ЭЛЕКТРОНА

© 1999 г. М. И. Добриков[#], С. А. Гайдамаков, Т. И. Гайнутдинов,
Е. Д. Тенетова, Г. В. Шишкун, В. В. Власов

Новосибирский институт биоорганической химии СО РАН,
630090; Новосибирск, просп. Акад. Лаврентьева, 8

Поступила в редакцию 14.01.98 г. Принята к печати 20.06.98 г.

Изучена сенсибилизированная к видимому свету (450–580 нм) фотомодификация одноцепочечной ДНК бинарной системой олигонуклеотидных конъюгатов, комплементарных соседним участкам ДНК. Один олигонуклеотид несет на 3'-концевом фосфате остаток фотопротеина – *n*-азидотетрафторбензальгидразона, другой на 5'-концевом фосфате содержит остаток сенсибилизатора – перилена или 1,2-бензантрацена. Скорость сенсибилизированной олигонуклеотидным производным перилена фотомодификации в 300000 раз больше скорости фотомодификации в отсутствие сенсибилизатора. Поскольку энергия возбуждения перилена меньше, чем энергия, необходимая для инициации фоторазложения азива, вероятно, в комплементарном комплексе сенсибилизация осуществляется за счет переноса электрона с азидогруппы фотопротеина на возбужденный сенсибилизатор. Сенсибилизация олигонуклеотидным производным 1,2-бензантрацена протекает за счет синглет-синглетного переноса энергии, что позволяет этому сенсибилизатору функционировать в роли нерасходящегося катализатора, каждая молекула которого способна инициировать фотомодификацию более 20 молекул ДНК.

При обоих механизмах сенсибилизации фотомодификация протекает высокоспецифично по остатку G¹¹ ДНК-мишени. Степень сенсибилизированной фотомодификации достигает 72%.

Ключевые слова: азиды перфторароматические; антисмысловые олигонуклеотиды; ДНК, фотомодификация.

Увеличение специфичности узнавания реакционноспособными олигонуклеотидными производными нукleinовых кислот – мишени в физиологических условиях является одной из основных проблем при конструировании ген-направленных биологически активных веществ [2]. Ранее для увеличения эффективности и специфичности направленной фотомодификации нукleinовых кислот нами было предложено использование бинарных систем олигонуклеотидных конъюгатов, комплементарных соседним участкам мишени и несущих остатки фотопротеинов и флуоресцентных сенсибилизаторов [1, 3–6]. Сближенные в составе комплементарного комплекса реагент и сенсибилизатор формируют фотопротеинноспособный центр, активируемый длинноволновым УФ- [5] или фиолетовым [3, 4] светом за счет синглет-синглетного [3–5], или двухквантового триплет-триплетного [1, 6] переноса энергии.

*Префикс “d” в обозначениях дезоксирибоолигонуклеотидов опущен.

* Сообщение III см. [1].
[#] Автор для переписки.

Использование таких бинарных олигонуклеотидных систем позволяет увеличить скорость фотомодификации и в 90 раз повысить селективность по сравнению с несенсибилизированной фотопротеином [3, 4]. Увеличение селективности сенсибилизированной фотомодификации происходит за счет независимого связывания двух олигонуклеотидных конъюгатов с комплементарными последовательностями ДНК-мишени. Рост степени модификации объясняется тем, что в ходе реакции сенсибилизатор функционирует как нерасходящийся катализатор, каждая молекула которого способна инициировать фотомодификацию до 24 молекул ДНК-мишени [4].

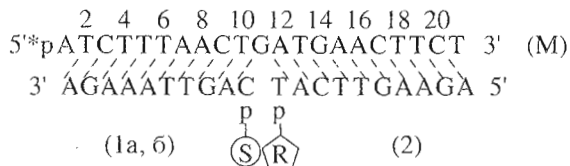
Одним из перспективных путей применения бинарных систем олигонуклеотидных конъюгатов может быть избирательная модификация определенных видов нукleinовых кислот в организме с терапевтическими целями. Для фотомодификации нукleinовых кислот *in vivo* необходимо, чтобы реакция инициировалась видимым или ИК-светом, проникающим в клетки и не вызывающим

повреждения биополимеров. Для обеспечения высокой направленности действия каждая из групп фотореакционного центра по отдельности должна быть неактивной, чтобы предотвратить неспецифическую модификацию при образовании несовершенных комплексов.

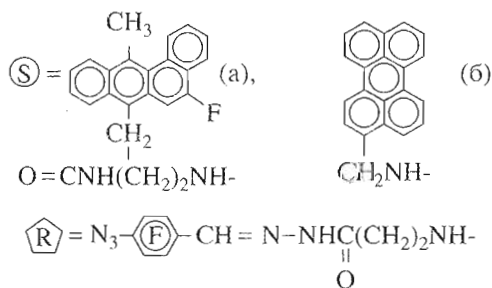
Для решения этих задач в настоящей работе сконструирована, исследована и сопоставлена с полученными ранее активируемая видимым светом (440–580 нм) бинарная система олигонуклеотидных производных сенсибилизатора – 3-аминометилперилена (SбН) и фотогенагента – N-(3-амино-пропионил)-N'-(4-азидотетрафторбензаль)гидразон – (R), комплементарных соседним участкам ДНК-мишени M. Предварительные результаты по сенсибилизированной фотомодификации ДНК этой бинарной системой представлены в работе [7].

Выбор фотогенагента обоснован ранее [8], синтез его описан в работе [9], а метод получения и свойства его олигонуклеотидных производных – в работе [3].

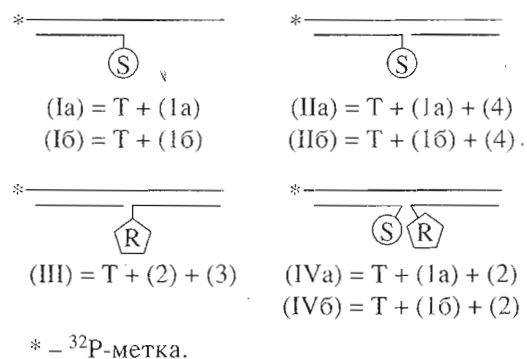
Выбор сенсибилизаторов, использованных в настоящей работе, основан на том, что возможны два механизма сенсибилизации фоторазложения азидов: синглет-синглетный перенос энергии и фотоиндуцированный перенос электрона [10]. Для классического синглет-синглетного переноса энергии необходимо, чтобы энергия 0, 0-перехода ($E_{0,0}$) между нулевыми колебательными уровнями основного (S_0) и первого возбужденного (S_1) электронных состояний в молекуле сенсибилизатора была больше, чем энергия аналогичного перехода в молекуле фотогенагента на 2–3 ккал/моль. Ранее было показано, что сенсибилизированная олигонуклеотидным производным 1,2-бензантрацена (1a) фотомодификация ДНК осуществляется за счет синглет-синглетного переноса энергии [3, 4].



(3) 3' AGAAATTGACp pTACCTTGAAGA 5' (4)



ИЗУЧЕННЫЕ КОМПЛЕКСЫ



Известно, что энергия 0, 0-перехода в ароматических азидах составляет примерно 70–72 ккал/моль [10] и их малоинтенсивное $\pi\pi^*$ -поглощение простирается до 430–450 нм [3, 10]. В некоторых случаях сенсибилизированное фоторазложение ароматических азидов наблюдается даже тогда, когда энергия $E_{0,0}$ сенсибилизатора меньше аналогичного уровня энергии у азида. Это обусловлено возможностью возбуждения азидов также за счет фотоиндуцированного переноса электрона [10]. Перилен и его производные используются как флуоресцентные стандарты [11] и как синглетные сенсибилизаторы, так как их квантовые выходы флуоресценции велики (~1.0), а квантовые выходы интеркомбинационной конверсии в триплетное состояние близки к нулю [12]. Поэтому мы решили использовать в качестве синглетного сенсибилизатора перилен, $E_{0,0}$ которого меньше (64 [10], 65.8 [13] ккал/моль), чем энергия 0, 0-перехода ароматических азидов, но который способен сенсибилизировать их фоторазложение за счет фотоиндуцированного переноса электрона [10].

Поскольку, как было показано нами ранее, короткий линкер между флуорофором и олигонуклеотидом способствует увеличению скорости сенсибилизированной фотомодификации [5], мы использовали аминометильное производное перилена. 3-Аминометилперилен синтезирован восстановлением литийалюмогидридом оксима 3-формилперилена, который был получен по методу [14]. Физико-химические характеристики промежуточных соединений полностью соответствуют литературным данным. Строение 3-аминометилперилена доказано с помощью ИК-, УФ- и ^1H -ЯМР-спектроскопии.

3-Аминометилперилен, как и другие производные перилена [11] обладает сильным поглощением в УФ- и видимой части спектра [λ , нм, (ϵ , $M^{-1} \text{ см}^{-1}$): 252 (47000), 412 (30000), 439 (39000)] и интенсивной флуоресценцией ($\lambda_{\text{эм}}$ 455, 485 и 515 нм). Спектр его поглощения сдвинут батохромно от-

носительно спектра ранее описанного сенсибилизатора Sa-H [3, 4] на 60 нм.

Олигонуклеотидное производное перилена (1б) получено по методу, описанному в работе [5]. Конъюгат (1б) обладает следующим спектром поглощения: λ , нм, (ϵ , $M^{-1} \text{ см}^{-1}$): 256 (125000), 420 (29000), 448 (35000). При присоединении 3-аминометилперилена к олигонуклеотиду наблюдаются батохромный сдвиг длинноволновой полосы поглощения на 9 нм и гашение флуоресценции на 20%.

Следует отметить, что спектр поглощения конъюгата (1б) сдвинут батохромно относительно поглощения исходного перилена (λ_{\max} 433 нм) на 13 нм, следовательно, энергия его возбужденного состояния ниже, чем энергия $E_{0,0}$ перилена на 2–3 ккал/моль. В свою очередь энергия возбуждения $E_{0,0}$ перилена ниже, чем энергия $E_{0,0}$ ароматических азидов. В связи с этим необходимо убедиться в принципиальной возможности сенсибилизировать фотодиссоциацию азива остатком перилена в составе конъюгата (1б). Возможность переноса энергии электронного возбуждения с сенсибилизатора (1б) на олигонуклеотидный реагент (2) показана методом гашения флуоресценции перилильного остатка при образовании комплементарных комплексов (рис. 1, кривые 3–5).

При связывании олигонуклеотидного производного 1,2-бензантрацена (1а) с комплементарной последовательностью М наблюдается 5-кратное гашение его флуоресценции (рис. 1, 1). Добавление к дуплексу (1а) второго олигонуклеотида (2), несущего остаток фотопроявляющегося (2), неизмененному дальнейшему гашению флуоресценции (кривая 2). Эти данные подтверждают, что энергия возбуждения бензантраценильного остатка в основном переносится на гетероциклические основания ДНК и лишь в незначительной степени – на фотопроявляющийся остаток.

В случае конъюгата (1б) наблюдается другая картина. При образовании дуплекса (1б) с ДНК-мишенью интенсивность флуоресценции гасится всего на 20% (кривая 3), добавление второго олигонуклеотида (4) без фотопроявляющегося остатка практически не приводит к дальнейшему гашению флуоресценции сенсибилизатора (кривая 4). Добавление же к дуплексу (1б) олигонуклеотидного конъюгата (2) приводит к дополнительному трехкратному гашению флуоресценции (кривая 5), что свидетельствует об эффективном переносе энергии с остатка перилена на фотопроявляющийся остаток в комплементарном комплексе (IVб).

Для изучения того, каким образом различная эффективность гашения флуоресценции остатков бензантрацена и перилена связана с модификацией нуклеиновых кислот была проведена прямая и

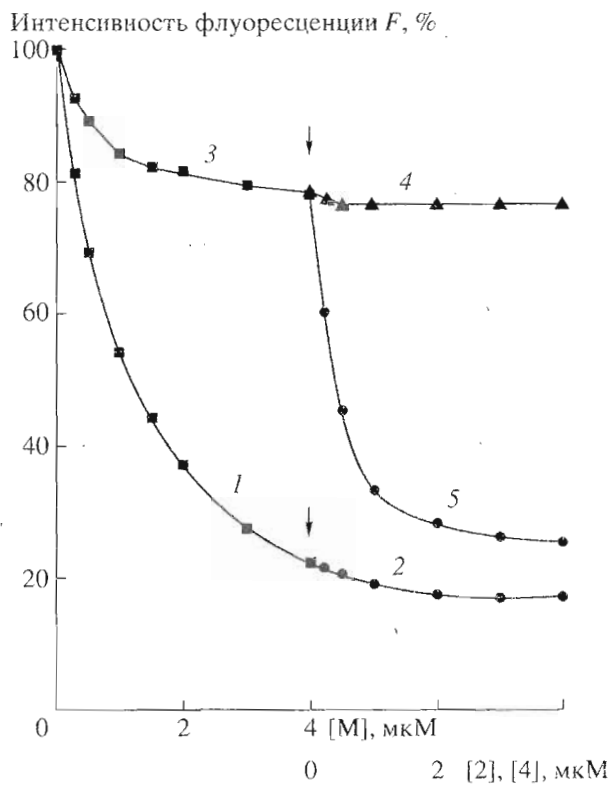


Рис. 1. Гашение флуоресценции олигонуклеотидных производных 1,2-бензантрацена (1а) (1–2) и перилена (1б) (3–5) при последовательном образовании комплексов (I), (II) и (IV). Концентрации конъюгатов (1а) – 1 и (1б) – 0,5 мкМ в 2 мМ Na_2HPO_4 , pH 7,1 с 200 мМ NaCl: 1–2 – $\lambda_{\text{возб}}$ 340 ± 5 нм, $\lambda_{\text{эм}}$ 376 ± 5 нм; 3–5 – $\lambda_{\text{возб}}$ 450 ± 5 нм, $\lambda_{\text{эм}}$ 485 ± 5 нм; 3 – образование дуплекса (1а), 2 – комплекса (IVа), 3–5 – образование дуплекса (1б), 4 – комплекса (IIб), 5 – комплекса (IVб). Стрелкой (↓) отмечены места добавления в реакционную смесь с дуплексами (1а) или (1б) олигонуклеотидного конъюгата (2) или олигонуклеотида (4).

сенсибилизированная фотомодификация мишени М при облучении видимым светом (440–580 нм) в составе дуплексов (III) и (IVа, б) (рис. 2). Видно, что сенсибилизированная олигонуклеотидным производным перилена (1б) фотомодификация ДНК в комплексе (IVб) заканчивается после 1 мин облучения (дорожка 5) и выход ковалентных аддуктов сшивки фотопроявляющегося остатка с ДНК-мишенью достигает 70% и при дальнейшем облучении не меняется (дорожки 6 и 7), в то время как ни производное (1б) (дорожка 1), ни производное фотопроявляющегося остатка (2) (дорожка 10) по отдельности не вызывают фотомодификации даже после 100 мин облучения. Сенсибилизированная производным бензантрацена (1а) фотомодификация ДНК в комплексе (IVа) (дорожки 2–4) в данных условиях также практически не наблюдается.

На рис. 3 представлены данные по прямой (кривая 1) и сенсибилизированной олигонуклео-

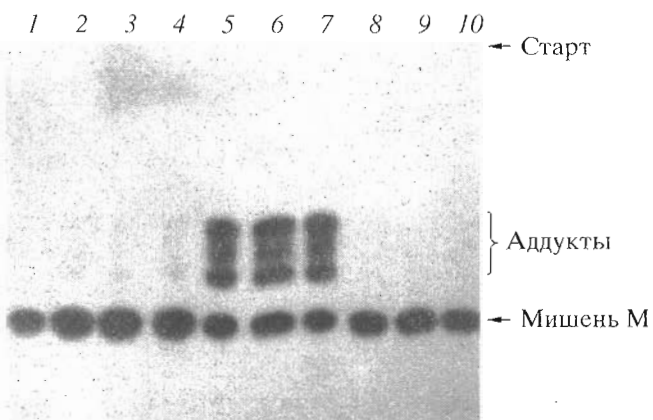


Рис. 2. Радиоавторграff геля, полученный при электрофоретическом анализе продуктов прямой (1, 8–10) и сенсибилизированной (2–7) фотомодификации 5'-³²P-меченой мишени M, инициированной облучением видимым светом (440–580 нм) ртутной лампы ДРК-120 фильтрованным набором светофильтров C3C-23, ЖС-12. Концентрации конъюгатов (1a), (Ib), (2) и олигонуклеотидов (3), (4) по 50 мкМ, олигонуклеотид М – 1 мкМ в 2 мМ Na₂HPO₄, pH 7.1 с 200 мМ NaCl: 1 – дуплекс (Ib), τ_{обл} 100 мин; 2–4 – дуплекс (IVa), τ_{обл} 1, 10, 100 мин соответственно; 5–7 – комплекс (IVб), τ_{обл} 1, 10, 100 мин соответственно; 8–10 – комплекс (III), τ_{обл} 1, 10, 100 мин соответственно.

тидным производным бензантрацена (кривая 2) и перилена (кривая 3) фотомодификации ДНК-мишени при облучении видимым светом в более широком диапазоне экспозиций (Н). Видно, что 10% выход ковалентных аддуктов сшивки реагента с мишенью в случае сенсибилизированной периленом фотомодификации достигается при значении IgH 0.3 (кривая 3), а для сенсибилизированной бензантраценом – при IgH 4.7 (кривая 2) и при IgH 5.7 в случае прямой фотомодификации (кривая 1). Следовательно, начальная скорость сенсибилизированной производным перилена (1б) фотомодификации ДНК в комплексе (IVб) примерно в 300000 раз больше, а сенсибилизированной производным бензантрацена (1а) – примерно в 10 раз больше, чем прямой фотопреакции в комплексе (III).

Из полученных результатов (рис. 2 и 3) следует, что высокоэффективную сенсибилизированную фотомодификацию ДНК в комплексе (IVб) можно селективно проводить в условиях, когда ни производное (1б), ни производное (2) по отдельности не активны.

Позиционную направленность реакции определяли пиперидиновой обработкой продуктов модификации (рис. 4, дорожки 1, 4, 5). При облучении видимым светом комплекса (Iб) (дорожка 1) не выявляется никаких продуктов расщепления, следовательно, сенсибилизатор в отсутствие фотопреа-

гента не вызывает модификации мишени. Облучение комплекса (III) УФ-светом приводит к образованию небольшого количества аддуктов (дорожка 2), расщепляющихся пиперидином по остатку G¹¹ ДНК-мишени (дорожка 4). Сенсибилизированная фотомодификация в комплексе (IVб), инициированная видимым светом, приводит к образованию значительного количества ковалентных аддуктов (дорожка 3), расщепляющихся по тому же остатку гуанозина (дорожка 5). Ранее было показано [15], что при направленной фотомодификации ДНК ковалентные аддукты по остатку гуанозина являются продуктами присоединения синглетного нитрена. Идентичность позиционной направленности прямой и сенсибилизированной фотомодификации показывает, что наиболее вероятным путем возбуждения фотопреагента при облучении видимым светом является синглет-синглетная сенсибилизация.

Перенос электрона из азива в основном состоянии на сенсибилизатор в возбужденном состоянии считается наиболее вероятным механизмом синглет-синглетной сенсибилизации ароматических азидов периленом, хотя перенос электрона не исключает также диполь-дипольного переноса энергии [10]. Оба механизма могут реализовываться параллельно, но вклад переноса электрона увеличивается при росте диэлектрической проницаемости растворителя, которая способствует разделению зарядов. Константа скорости гашения флуоресценции перилена ароматическими азидами увеличивается при росте диэлектрической проницаемости растворителя и достигает диффузионно контролируемого предела в метаноле ($\epsilon = 32$) [10]. Примерно такое же значение диэлектрической проницаемости наблюдается в бороздках двухцепочечной ДНК [16]. Следовательно, обнаруженное значительное увеличение скорости сенсибилизированной производным перилена (1б) фотомодификации ДНК-мишени может быть обусловлено переносом электрона.

Ранее было показано, что в бинарных системах олигонуклеотидных производных сенсибилизаторы пирен и бензантрацен – эффективные катализаторы, ускоряющие фотомодификацию ДНК-мишени и нерасходящиеся в ходе реакции [4]. Поэтому для производного перилена (1б) были изучены каталитические свойства и сопоставлены с данными по фотомодификации, сенсибилизированной производным бензантрацена (1а) в оптимальных для этого условиях, – избыток фотопреагента, повышенная температура, длительное время облучения (рис. 5).

Видно, что при фотомодификации в комплексе (IVa) (панель а) заметный выход ковалентных аддуктов наблюдается даже при значительном недостатке сенсибилизатора (дорожки 2–5). При

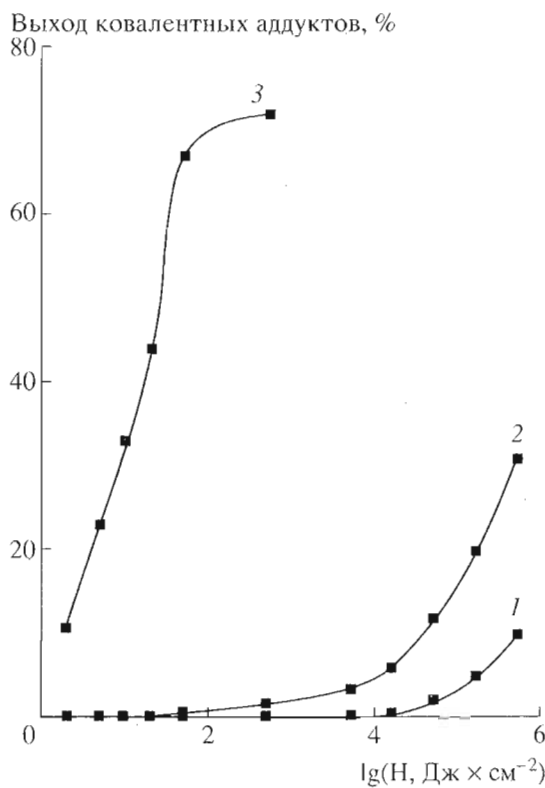


Рис. 3. Зависимость выхода ковалентных аддуктов сшивки ДНК-мишени M с олигонуклеотидным производным (2) при прямой (1) и сенсибилизированной олигонуклеотидным производным 1,2-бензантрацена (2) или перилена (3) фотомодификации от экспозиции (H, полулогарифмические координаты). Условия облучения: 1, 2 – светофильтры C3C-23, JC-11 (420–580 нм), расстояние 8 см, $W = 10 \text{ мВт см}^{-2}$; 3 – светофильтры C3C-23, JC-12 (440–580 нм), расстояние 20 см, $W = 1 \text{ мВт см}^{-2}$.

увеличении соотношения концентраций $[1a]/[M]$ больше 1 выход аддуктов продолжает увеличиваться и достигает 60% при 10-кратном избытке сенсибилизатора (дорожка 8).

Для сенсибилизированной фотомодификации в комплексе (IVб) (панель б) наблюдается другая зависимость выхода ковалентных аддуктов от соотношения концентраций сенсибилизатор–ДНК–мишень. При значительном недостатке сенсибилизатора, фотомодификация практически отсутствует (дорожки 2–3), далее выход ковалентных аддуктов линейно увеличивается при росте соотношения концентраций $[1b]/[M]$ от 0.1 до 3 (дорожки 4–7). Последующее увеличение избытка сенсибилизатора приводит к незначительному увеличению эффективности фотомодификации, достигая 70% при 30-кратном избытке производного (1б) (дорожка 9).

Количественные данные по сенсибилизированной фотомодификации ДНК в комплексах

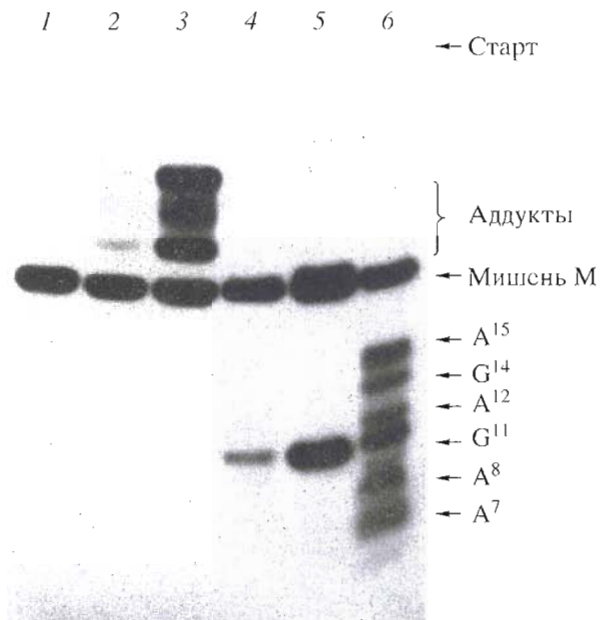


Рис. 4. Радиоавтограф геля, полученный при электрофоретическом анализе продуктов прямой (2, 4) и сенсибилизированной олигонуклеотидным производным перилена (1, 3, 5) фотомодификации $5'-^{32}\text{P}$ -меченои мишени M, концентрации олигонуклеотидов как на рис. 2: 1 – дуплекс (Iб), $\tau_{\text{обл}} = 100 \text{ мин}$ (450–580 нм); 2 – дуплекс (III), $\tau_{\text{обл}} = 100 \text{ мин}$ (340–400 нм); 3 – комплекс (IVб), $\tau_{\text{обл}} = 10 \text{ мин}$ (450–580 нм); 4, 5 – дорожки 2, 3 соответственно после обработки пиперидином (1 М, 95°C, 20 мин); 6 – продукты деградации ДНК-мишени по остаткам пуринов (A + G-расщепление).

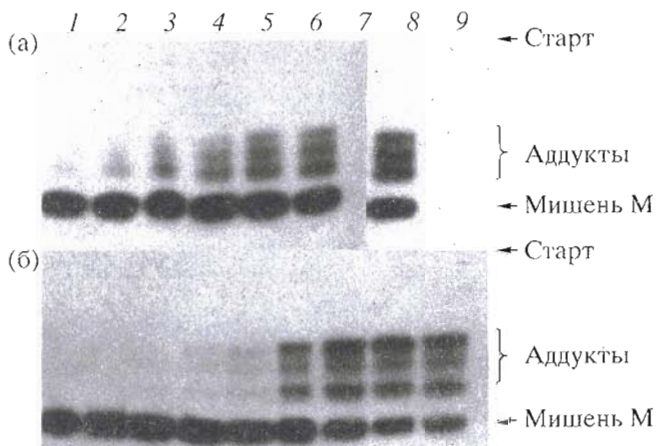


Рис. 5. Радиоавтографы гелей, полученные при электрофоретическом анализе продуктов прямой (1) и сенсибилизированной олигонуклеотидными производными бензантрацена (1а) (а: 2–8) и перилена (1б) (б: 2–9) фотомодификации $5'-^{32}\text{P}$ -меченои мишени M при 37°C, концентрации олигонуклеотидов: [M] 1 мкМ, [1а] и [1б] 1×10^{-8} – 3×10^{-5} М, [2] 50 мкМ: панель а: $\tau_{\text{обл}} = 50 \text{ мин}$ (400–580 нм); концентрация (1а) мкМ 0 (1), 0.01 (2), 0.03 (3), 0.1 (4), 0.3 (5), 1 (6), 10 (8); панель б: $\tau_{\text{обл}} = 150 \text{ мин}$ (450–580 нм); концентрация (1б) мкМ 0 (1), 0.01 (2), 0.03 (3), 0.1 (4), 0.3 (5), 1 (6), 3 (7), 10 (8), 30 (9).

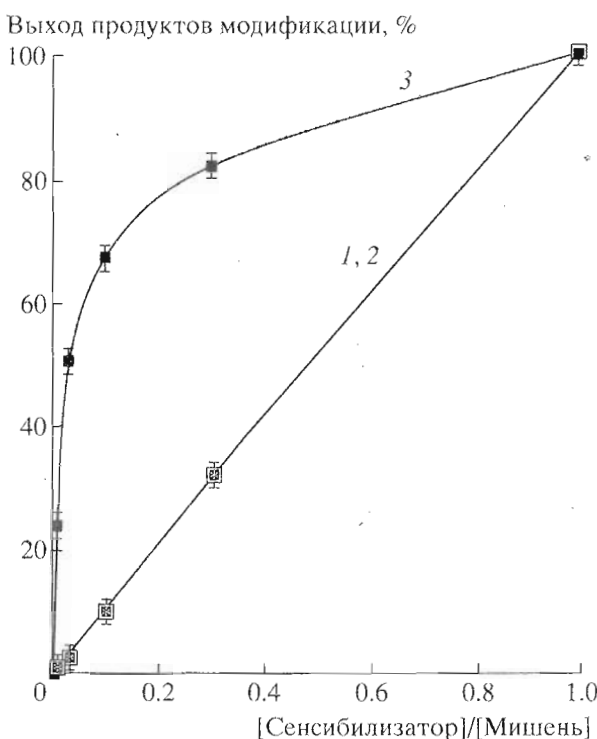


Рис. 6. Зависимость выхода продуктов сенсибилизированной фотомодификации (%) от соотношения концентраций 1б : [M]: 100% соответствует степени модификации при эквимолярном соотношении концентраций (1б) и M : [M] 1 мкМ, [2] 50 мкМ, [1б] и [1а] – 0,5–50 мкМ. Прямые 1, 2: * – (1а), 10°C, $\tau_{\text{обл}}$ 10 мин (400–480 нм); □ – (1б), 10°C, $\tau_{\text{обл}}$ 100 мин (440–580 нм); (1б), 37°C, $\tau_{\text{обл}}$ 100 мин (440–580 нм); кривая 3 – ■ – (1а), 37°C, $\tau_{\text{обл}}$ 300 мин (400–480 нм).

(IVа) и (IVб) при недостатке сенсибилизаторов представлены на рис. 6. Видно, что при 100-кратном избытке мишени относительно производного бензантрацена (1а) наблюдается 24% модификации (кривая 3). В отличие от производного бензантрацена (1а), каждая молекула которого способна инициировать фотомодификацию до 24 молекул мишени, каждая молекула конъюгата перилена (1б) вызывает фотомодификацию только одной молекулы мишени (прямая 2). Линейная зависимость степени сенсибилизированной фотомодификации от соотношения концентраций [сенсибилизатор]/[ДНК-мишень] наблюдалась ранее и для производного бензантрацена (1а) [4] при пониженной температуре, эквимолярном соотношении фотопротеина–мишень, т.е. в условиях отсутствия обмена компонентов комплекса (IVа).

Из представленных на рис. 5 и 6 результатов можно сделать вывод, что при сенсибилизированной производным перилена (1б) фотомодификации ДНК в комплексе (IVб) катализитический эффект сенсибилизатора отсутствует. Возможным

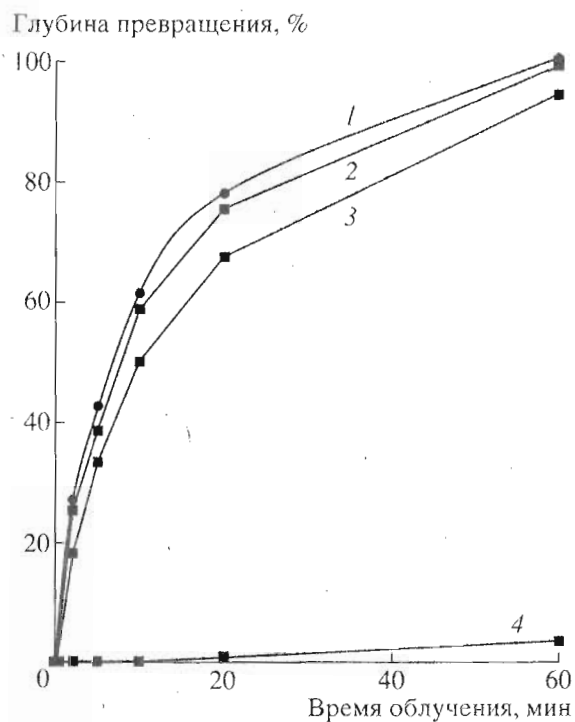
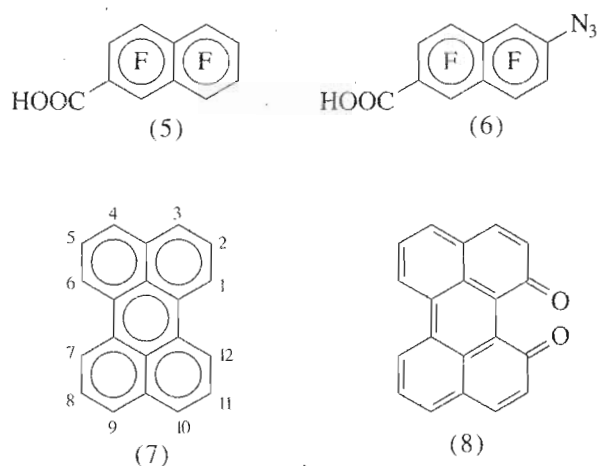


Рис. 7. Фотолиз соединений (5), (6), (7) и их смесей (по 50 мкМ) в метаноле при облучении видимым светом (440–580 нм) в присутствии кислорода и после 20 мин продувки аргоном: 1 – сенсибилизованный периленом фотолиз азота (6) в присутствии кислорода (по уменьшению поглощения при 293 нм); 2 – фотоокисление перилена (7) в присутствии азота (6) в кислородных условиях (по увеличению поглощения при 450 нм); 3 – фотоокисление перилена в присутствии азота (6) после 20 мин продувки аргоном; 4 – прямой фотолиз перилена, азота (6) и смеси перилен–кислота (5).

объяснением этого может быть инактивация сенсибилизатора в ходе фотомодификации ДНК.



Для проверки данного предположения был изучен в кислородных и бескислородных условиях фотолиз перилена (7) и смесей перилен–нафтфтилазид (6) и перилен–перфторнафтойная кислота (5) (рис. 7). Перфторнафтойная кислота (5) и

2-азидоперфтор-7-нафтойная кислота (6), описанные ранее [17], выбраны вследствие того, что их спектры поглощения ($\lambda_{\text{макс}} 340$ и 345 нм, соответственно) не перекрываются со спектром поглощения перилена ($\lambda_{\text{макс}} 251$ и 433 нм). При облучении в течение 1 ч видимым светом (440–580 нм) фотолиз ни перилена (7), ни азиды (6), ни смеси перилен–перфторнафтойная кислота ни в кислородных, ни в бескислородных условиях не наблюдается. В этих условиях (прямая 4) облучения смеси перилен–2-азидоперфтор-7-нафтойная кислота одновременно происходит фотопревращение как азиды, так и перилена с $\tau_{1/2} 8$ мин (кривые 1, 2). По данным ВЭЖХ перилен практически целиком превращается в соединение, не флуоресцирующее и обладающее характерным для 1,12-периленхинона (8) спектром поглощения ($\lambda_{\text{макс}} 334$ и 444 нм) [18]. Можно предположить, что идет фотоокисление перилена кислородом воздуха. При барботировании перед облучением смеси перилен–2-азидоперфтор-7-нафтойная кислота аргоном скорость фотопревращения перилена несколько снижается, но не уменьшается до нуля (кривая 3), видимо из-за неполного удаления кислорода и высокой скорости окисления [21].

При облучении видимым светом комплекса (IVб) в кислородных условиях наблюдаются аналогичные изменения – полное гашение флуоресценции периленового остатка (Sб) и углубление цвета реакционной смеси (данные не представлены). Полученные результаты подтверждают, что при сенсибилизированной фотомодификации ДНК бинарной системой олигонуклеотидных конъюгатов (1б + 2) одновременно с фотопришивкой реагента к мишени происходит фотоокисление сенсибилизатора, вероятнее всего за счет фотоиндуцированного переноса электрона.

Перенос электрона с фотовозбужденного сенсибилизатора на азид (рис. 8а) [19] теоретически возможен, но в данном случае маловероятен. Подобный перенос электрона должен приводить к появлению в спектре поглощения смеси новой длинноволновой полосы переноса заряда (ПЗ). Экспериментально в метанольном растворе с концентрациями сенсибилизатора (7) 1 мМ и фотопротеина (6) 100 мМ такой полосы не было обнаружено (данные не представлены). Помимо этого, при переносе электрона с сенсибилизатора на азид, из последнего образуется анион-радикал, который в бескислородных условиях быстро превращается в соответствующий анилин [20], а в кислородных – окисляется кислородом [21]. Можно предположить, что при переносе электрона с периленового сенсибилизатора (Sб) на фотопротеин (R) фотомодификации ДНК наблюдаться не должно.

Наблюдаемая сенсибилизированная фотомодификация ДНК в комплексе (IVб) обусловлена вероятнее всего переносом электрона с неподеленной электронной пары (n) атома азота в азидогруппе фотопротеина на фотовозбужденный

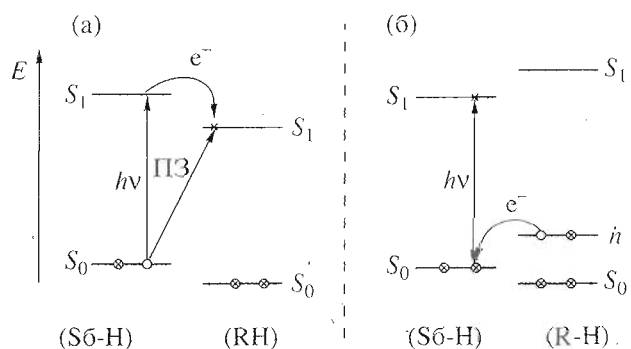


Рис. 8. Расположение электронных уровней при фотоиндуцированном переносе электрона (а) – с сенсибилизатором (S) на фотопротеин (R) (при $E_{0,0}$ сенсибилизатора $> E_{0,0}$ фотопротеина) и (б) – с фотопротеина на сенсибилизатор (с арилазидом (R - H) на перилен (Sb - H); $E_{0,0}$ сенсибилизатора $< E_{0,0}$ фотопротеина).

перилен (рис. 8б). В результате этого из остатка перилена образуется анион-радикал, который быстро окисляется кислородом воздуха до соответствующего 1,12-периленхинона. Одновременно с этим из перфторарилазида образуется катион-радикал, который в ходе темновых превращений вызывает фотомодификацию ДНК, характерную для синглетного нитрена.

Таким образом, разработана высокоэффективная бинарная система олигонуклеотидных реагентов, несущих остатки перилена и перфторарилазида, позволяющая селективно инициировать фотомодификацию ДНК-мишени облучением видимым светом в сине-зеленом диапазоне (450–580 нм) в условиях, когда оба компонента этой системы по отдельности практически не активны. Сенсибилизированная фотомодификация в комплексе (IVб) осуществляется, вероятнее всего, за счет фотоиндуцированного переноса электрона с азидогруппы реагента на электронно-возбужденный сенсибилизатор. Позиционная направленность такой фотомодификации ДНК совпадает с позиционной направленностью прямой фотомодификации в комплексе (III) и сенсибилизированной за счет синглет-синглетного переноса энергии в комплексе (IVа).

Сенсибилизация за счет фотоиндуцированного переноса электрона позволяет увеличить скорость сенсибилизированной фотомодификации в 300000 раз по сравнению с прямой. В отличие от сенсибилизации за счет синглет-синглетного переноса энергии, при которой сенсибилизатор может функционировать как нерасходящийся катализатор, при сенсибилизации за счет переноса электрона происходит фотоокисление сенсибилизатора.

ЭКСПЕРИМЕНТАЛЬНАЯ ЧАСТЬ

Использовали алюмогидрид лития, 2,2'-дипиридилилдисульфид, трифенилfosфин, 4-*N,N*-диме-

тиламинопиридин (Fluka), остальные реагенты и растворители – отечественного производства. ИК-спектры регистрировали на приборе UR-20 в таблетках KBr. Запись УФ-спектров и измерение оптической плотности растворов проводили на спектрофотометрах UV-2100 (Shimadzu, Япония) и Specord M40 (Carl Zeiss Jena, Германия). Спектры флуоресценции записывали на спектрофлуориметре MPF-4 (Hitachi, Япония), ^1H -ЯМР-спектры – на приборе Bruker-200A, внутренний стандарт – гексаметилдисилоксан.

Для выделения олигонуклеотидных производных применяли метод ВЭЖХ с использованием жидкостного хроматографа Waters (США) в системе – линейный градиент концентрации ацетонитрила в 0.05 М LiClO_4 от 0 до 40% за 40 мин, скорость элюции 3 мл/мин (колонка 25×0.4 см, сорбент Nucleosil RP-18, 5–20 мкм (Merck, Германия)). ТСХ проводили на пластинках Silufol (UV_{254}) в системе: муравьиная кислота–*трет*-бутиanol–метилэтилкетон–вода – 3 : 6 : 3.

3-Аминометилперилен гидрохлорид (S6-H·HCl). К суспензии 0.5 г (13.2 ммоль) LiAlH_4 в 20 мл абс. эфира в токе сухого аргона добавляли 1 г (3.4 ммоль) оксима 3-формилпериlena, полученного по [14], перемешивали 12 ч, добавляли по каплям 1.5 мл насыщенного раствора Na_2SO_4 . Реакционную смесь фильтровали, осадок экстрагировали горячим хлороформом, экстракт сушили над MgSO_4 , упаривали досуха, остаток промывали горячим бензолом, затем гексаном, сушили в вакууме. Кристаллический продукт (0.6 г) растворяли в метаноле (10 мл), пропускали ток сухого HCl, высаживали эфиrom (20 мл), отфильтровывали осадок и сушили в вакууме. Выход гидрохлорида (S6-H) 0.27 г (23%). R_f 0.8, т. пл. 245–247 (разл.).

УФ-спектр (MeOH), λ_{\max} , нм (ϵ , $\text{M}^{-1} \text{ см}^{-1}$): 248 (29000), 252 (44000), 412 (28000), 438 (35000). ИК-спектр (KBr, ν , cm^{-1}): 3040 сл. (аром C–H), 2950–2880 с. шир. ($-\text{NH}_3^+$), 1600, 1500 с. (аром. C=C), 1580, 1495 ср. (C–NH₃⁺). ^1H -ЯМР ($\text{DMSO}-d_6$, δ , м. д., J , Гц): 8.40 (д, 1 H, $J_{1,2}$ 7.5, H1); 8.35 (д, 2 H, $J_{5,6} = J_{7,8}$ 8, H6, H7); 8.33 (д, 1 H, $J_{11,12}$ 8, H12); 7.90 (д, 1 H, $J_{4,5}$ 8, H4); 7.78–7.82 (м, 2 H, H9, H10); 7.66 (т, 1 H, $J_{5,6}$ 8, H5); 7.59 (д, 1 H, $J_{1,2}$ 7.5, H2); 7.55 (т, 2 H, $J_{8,9} = J_{10,11} = J_{11,12}$ 8, H8, H11); 4.82 (с, 2 H, ArCH₂).

Синтез периленового производного декануклеотида (16). Растворяли 0.15 мкмоль цетавлоновой соли декануклеотида, содержащего концевую 5'-концевую фосфатную группу, в 40 мкл DMSO и добавляли 1.7 мг 2,2'-дипиридилидисульфида и 2.0 мг (7.6 мкмоль) трифенилfosфина. Через 10 мин в смесь добавляли 1 мг (4.5 мкмоль) 4-*N,N*-диметиламинопиридина, выдерживали 10 мин и осаждали олигонуклеотидные производные добавлением 15-кратного избытка эфира. Осадок дважды промывали эфиrom и растворяли в 50 мкл DMSO, содержащего

5 мкмоль соединения (S6-H). Смесь выдерживали 1 ч и осаждали олигонуклеотидный материал 15-кратным избытком 2% раствора LiClO_4 в ацетоне. Осадок растворяли в 70 мкл воды и переносили 2% раствором LiClO_4 в ацетоне. Продукты выделяли методом ВЭЖХ. Выход конъюгата (16) составлял 60–80%. Спектр поглощения – λ , нм, (ϵ , $\text{M}^{-1} \text{ см}^{-1}$): 256 (125000), 420 (29000), 448 (35000) – соответствует стехиометрическому соотношению олигонуклеотид–сенсибилизатор 1 : 1, если принять, что молекулярный коэффициент поглощения (ϵ_{256} 125000 $\text{M}^{-1} \text{ см}^{-1}$) равен сумме значений для исходного олигонуклеотида (3) (ϵ_{256} 101000 $\text{M}^{-1} \text{ см}^{-1}$) [5] и сенсибилизатора (S6-H) (ϵ_{256} 24000 $\text{M}^{-1} \text{ см}^{-1}$).

Флуоресцентные свойства. Спектры флуоресценции перилена, периленилметиламина, олигонуклеотидного производного (16) и гашение их флуоресценции при образовании дуплексов регистрировали в буфере 6 мМ Na_2HPO_4 (pН 7.6), 0.2 М NaCl и 0.02 мМ EDTA. Длина волны возбуждения $\lambda_{\text{возб}} = \lambda_{\text{макс}} \pm 5$ нм, длина волны эмиссии $\lambda_{\text{эм}} 476 \pm 5$ нм.

Фотомодификация ДНК-мишени. Аликвоты по 5 мкл реакционной смеси, содержащей 100 нМ раствор ДНК-мишени T и 50 мкМ растворы олигонуклеотидных производных реагента и сенсибилизатора в буфере, содержащем 6 мМ Na_2HPO_4 (pН 7.6), 0.2 М NaCl и 0.02 мМ EDTA, помещали в цилиндрические лунки иммунохимических планшетов диаметром 4 мм, закрывали крышками, охлаждали или нагревали до нужной температуры и облучали светом ртутной лампы ДРК-120 осветителя КФ-4М (ЛОМО, Санкт-Петербург) через следующие наборы стеклянных светофильтров (λ , нм; W , мВт см^{-2}): БС-8, СЗС-20 (400–480; 0.3); ЖС-11, СЗС-23 (420–580; 1); ЖС-12, СЗС-23 (440–580; 0.85). Интенсивность падающего на образцы видимого света определяли с помощью люксметра Ю-117 [22]. Уменьшение объема раствора образцов, связанное с испарением, не превышало 20%. После облучения образцы (2 мкл) смешивали с 5 мкл раствора 7 М мочевины, содержащего 0.1% бромфенолового синего и 0.1% ксиленцианола FF, и анализировали методом 20% ПААГ-электрофореза (0.05 М Трис-борат, pH 7.4). Экспонирование геля на рентгеновской пленке PM-B с усиливающим экраном проводили в течение 8–24 ч при –10°C.

Радиоавтографы гелей сканировали на лазерном денситометре 2222 Ultroskane-XL (LKB, Швеция).

Авторы выражают благодарность Е.М. Ивановой (НИБХ СО РАН) за наработку олигонуклеотидов. Настоящая работа была поддержана Междисциплинарным грантом СО РАН по гениммунизации и генотерапии и грантом РФФИ № 95-03-08706а.

СПИСОК ЛИТЕРАТУРЫ

1. Добриков М.И., Гайдамаков С.А., Шишкин Г.В., Власов В.В. // Биоорганическая химия. 1998. Т. 24. С. 829–836.
2. Knorre D.G., Vlassov V.V., Zarytova V.F., Lebedev A.V., Fedorova O.S. Design and Targeted Reactions of Oligonucleotide Derivatives. Boca Raton: CRC Press, 1994.
3. Vlassov V.V., Dobrikov M.I., Gaidamakov S.A., Gainutdinova E.K., Cainutdinov T.I., Koshkin A.A. // DNA and RNA Cleavers and Chemotherapy of Cancer and Viral Diseases / Ed. B. Meunier: NATO ASI Series; Dordrecht: Kluwer Acad. Publ., The Netherlands, 1996. P. 195–210.
4. Dobrikov M.I., Gaidamakov S.A., Gainutdinova E.K., Cainutdinov T.I., Koshkin A.A., Vlassov V.V. // Antisense Nucl. Acid Drug Develop. 1997. V. 7. P. 309–317.
5. Добриков М.И., Гайдамаков С.А., Кошкин А.А., Гайнутдинов Т.И., Лукъянчук Н.П., Шишкин Г.В., Власов В.В. // Биоорганическая химия. 1997. Т. 23. С. 191–199.
6. Добриков М.И., Гайдамаков С.А., Кошкин А.А., Гайнутдинов Т.И., Лукъянчук Н.П., Шишкин Г.В., Власов В.В. // Биоорганическая химия. 1997. Т. 23. С. 557–563.
7. Добриков М.И., Гайдамаков С.А., Гайнутдинов Т.И., Тенетова Е.Ю., Шишкин Г.В., Власов В.В. // Докл. РАН. 1998. Т. 358. С.
8. Добриков М.И., Гайдамаков С.А., Кошкин А.А., Шишкин Г.В., Власов В.В. // Докл. РАН. 1996. Т. 351. С. 547–550.
9. Добриков М.И., Дудко Р.Ю., Шишкин Г.В. // Биоорганическая химия. 1996. Т. 22. С. 191–199.
10. Leyshon L.J., Reiser A. // J. Chem. Soc. Faraday Trans. 2. 1972. P. 1918–1927.
11. Гречишникова И.В., Михалев И.И., Молотковский Юл.Г. // Биоорганическая химия. 1995. Т. 21. С. 70–76.
12. Wilkinson F. // Organic Molecular Photophysics. V. 2 / Eds J. B. Birks. J. London; New York; Toronto; Sydney: Wiley, 1975. P. 95–158.
13. Chow Y.L., Wu Z.-Z., Lau M.-P., Yip R.W. // J. Am. Chem. Soc. 1985. V. 107. P. 8196–8201.
14. Вии-Хой N.P., Long C.T. // Recl. Trav. Chim. Pags-Bas. 1956. V. 75. P. 1221–1226.
15. Добриков М.И., Дудко Р.Ю., Левина А.С., Халимская Л.М., Шишкин Г.В. // Биоорганическая химия. 1996. Т. 22. С. 200–207.
16. Barawkar D.A., Ganesh K.N. // Nucl. Acids Res. 1995. V. 23. P. 159–164.
17. Тенетова Е.Д., Добриков М.И., Шишкин Г.В., Штейнгарц В.Д. // Изв. АН. Сер. хим. 1998. (в печати).
18. White B., Novakowska M., Guillet J.E. // J. Photochem. Photobiol. 1989. V. 50. P. 147–156.
19. Мельников М.Я., Смирнов В.А. Фотохимия органических радикалов. М.: МГУ, 1994. С. 90–128.
20. Shields C.J., Falvey D.E., Schuster G.B., Buchardt O., Nielsen P.E. // J. Org. Chem. 1988. V. 53. P. 3501–3507.
21. Bensasson R.V., Land E.R., Truscott T.G. Flash Photolysis and Pulse Radiolysis. Contributions to the Chemistry of Biology and Medicine. Oxford; New York; Toronto; Sydney; Paris; Frankfurt: Pergamon Press, 1983. P. 5–40.
22. Соколов М.В. Прикладная биофотометрия. М.: Наука, 1982. С. 79–116.

Sensitized Photomodification of DNA by Binary Systems of Oligonucleotide Conjugates. IV. Photoinduced Electron Transfer

M. I. Dobrikov[#], S. A. Gaidamakov, T. I. Gainutdinov,
E. D. Tenetova, G. V. Shishkin, and V. V. Vlasov

Novosibirsk Institute of Bioorganic Chemistry, Siberian Division,
Russian Academy of Sciences, pr. Akademika Lavrent'eva 8, Novosibirsk, 630090 Russia

The photomodification of single-stranded DNA sensitized to visible light (450–580 nm) by a binary system of oligonucleotide conjugates complementary to adjacent DNA sequences was studied. One oligonucleotide carries a residue of the photoreagent *p*-azidotetrafluorobenzaldehyde hydrazone at its 3'-terminal phosphate, and the other has a residue of the sensitizer, perylene or 1,2-benzanthracene, at the 5'-terminal phosphate. The rate of photomodification sensitized by the perylene derivative is 300000-fold higher than the rate of photomodification in the absence of the sensitizer. Since the excitation energy of perylene is lower than the energy necessary for the initiation of azide photodecomposition, it is likely that the sensitization in the complementary complex occurs by electron transfer from the azido group of the photoreagent to the excited sensitizer. The sensitization by the 1,2-benzanthracene oligonucleotide derivative occurs by means of singlet–singlet energy transfer, which enables this sensitizer to act as a unconsumable catalyst each molecule of which is able to initiate the photomodification of more than 20 DNA molecules. By both mechanisms, the photomodification occurs with high specificity on the G¹¹ residue of the target DNA. The degree of sensitized photomodification reaches 72%.

Key words: azides, perfluoroaromatic; antisense oligonucleotides; DNA, photomodification

[#] To whom correspondence should be addressed.